

6 Refinamento

Este capítulo descreve como serão aplicadas as operações de refinamento à malha base a fim de se obter uma representação em multi-resolução. O processo de refinamento é feito essencialmente em duas etapas: Subdivisão (seção 6.1) e Adaptação (seção 6.2) dos triângulos. É importante destacar que estas etapas serão aplicadas paralelamente aos triângulos da malha. A função **RefinarMalhaBase**, que foi chamada na função **ExtrairMalhaMulti** (seção 4.3), mostra o processo do refinamento. As funções **IniciarRefinamento** e **AplicarRefinamentoAdapt** estão descritas na seção 6.3.

Algoritmo 14 RefinarMalhaBase (malha base M , erro refinamento e)

IniciarRefinamento (M, e)

AplicarRefinamentoAdapt(M, e)

6.1 Subdivisão dos Triângulos

Nesta etapa os triângulos são subdivididos visando a geração da estrutura hierárquica que representa a malha. Durante este processo há duas questões importantes a serem resolvidas. A primeira se refere ao critério que será utilizado para decidir se um triângulo será subdividido ou não. A segunda questão diz respeito ao conjunto de regras ou heurísticas que serão utilizadas para dividir o triângulo, ou seja, como serão conectados os novos conjuntos de vértices e arestas gerados. É importante destacar que esta etapa da subdivisão trata apenas da alteração da conectividade (topologia) da malha durante o refinamento, ou seja, não serão tratadas as alterações geométricas. Estas últimas serão tratadas durante a adaptação dos triângulos (seção 6.2).

6.1.1 Critério para Subdivisão dos Triângulos

De um modo geral, o critério utilizado para decidir se um triângulo T deve ser dividido baseia-se na variação da curvatura ao longo da região da isosuperfície S representada por T . Em [47], Wood utilizou a variância das distâncias de T à isosuperfície, como critério para dividir T . Tomando-se alguns pontos p_1, p_2, \dots, p_n sobre o triângulo T , e tomando o conjunto das distâncias $D = \{D_S(p_1), D_S(p_2), \dots, D_S(p_n)\}$ dos p_i a S , a variância $V_T(D)$ é definida como $V_T(D) = E(D^2) - E(D)^2$, onde $E(D) = (1/n) \sum_{i=1}^n D_S(p_i)$ é a média das distâncias dos p_i 's a S .

Se a variância for grande ($V_T(D) > \delta$), significa que a curvatura varia muito na região representada por T (figura 6.1a). No outro extremo, se a variância for pequena ($V_T(D) \leq \delta$), significa que a curvatura não varia e o triângulo T não precisa ser dividido (figura 6.1b). Neste critério, uma segunda condição pode ser acrescentada no caso de a variância ser maior que um valor pré-definido: somente se as curvaturas nos vértices do triângulo T forem altas em relação à área de T , o triângulo deve ser dividido.

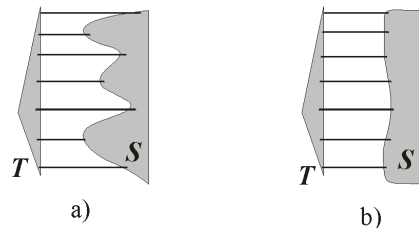


Figura 6.1: Variância das distâncias usada como critério de subdivisão dos triângulos.

6.1.2 Heurística de Subdivisão: Malhas 4-8

O processo de divisão dos triângulos é feito com base nos trabalhos [48, 52, 58]. Trata-se da *Subdivisão 4-8*, onde o refinamento aplicado à malha base gera *malhas 4-8* a partir de operações elementares de *bisseção* de arestas que, pela simplicidade, oferece uma série de vantagens em relação a outros métodos de subdivisão. Além disto, operações de bisseção refinam a malha consistentemente, evitando pós-processamento da malha para evitar erros na triangulações. Outra vantagem desta heurística de refinamento é que malhas 4-8 são *quadrangulações trianguladas*, ou seja combinam

propriedades estruturais de malhas triangulares e retangulares, que são utilizadas na maioria das aplicações.

Os métodos de refinamento de uma malha estão tipicamente relacionados com *tilings* regulares, que são revestimentos ou mosaicos do plano compostos por polígonos base que são regulares de n lados e idênticos. Os três tipos de *tilings* regulares existentes são os que possuem como polígono base: quadrado, triângulo equilátero e hexágono.

A maioria dos métodos de refinamento baseia-se ou em *tilings* quadrangulares ou em triangulares (não necessariamente regulares). Tanto os *tilings* triangulares, quanto os *tilings* quadrangulares possuem importantes propriedades estruturais que podem ser aplicadas às malhas. Há aplicações em que o ideal seria que as malhas pudessem usufruir das propriedades de ambos os *tilings*.

Uma importante classe de regras de refinamentos são as que mantêm os *tilings invariantes* durante o refinamento, ou seja, os *tilings* refinados são isomorfos ao grafo do *tiling* original. Tendo como motivação manter as propriedades dos *tilings* triangulares e dos quadrangulares e que os *tilings* sejam invariantes, muitos métodos [48, 52, 58] utilizam heurísticas de refinamento baseando-se nos *Tiling* [4.8²] de Laves:

Tilings [4.8]² de Lave [58]

São *tilings* definidos a partir de polígonos base que são triângulos retângulo isósceles (não são *tiling* regulares) e cujos vértices possuem alternadamente valência 4 ou 8 (figura 6.2a). *Tilings* [4.8²] são invariantes e possuem uma rica estrutura que pode ser explorada durante o refinamento, além de possuírem uma série de vantagens em relação aos *tilings* regulares. A estrutura básica destes *tilings* é um par de triângulos que forma um quadrado, chamado *bloco básico*, dividido ao longo de uma de suas diagonais. A aresta comum do par de triângulos é chamada de *aresta interna* ao bloco, enquanto as demais arestas são chamadas de *arestas externas* (figura 6.2b). O *tiling* [4.8²] forma uma *quadrangulação triangulada*.

Malha 4-8 [48, 52, 58]

Uma malha é chamada de *malha regular 4-8* se ela possui a mesma conectividade de um *tiling* [4.8²]. O termo 'regular' aqui é empregado no sentido de que a valência dos vértices será sempre 4 ou 8. Assim, uma malha 4-8 possui a mesma estrutura de blocos (*quadrangulação triangulada*)

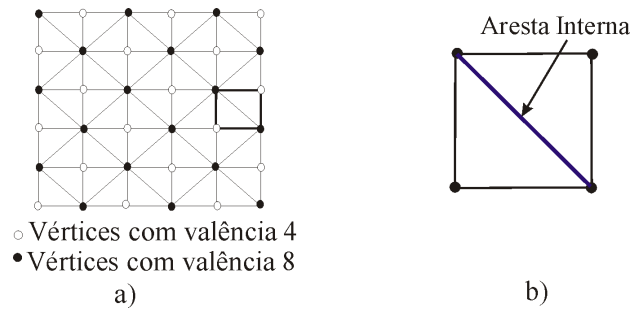


Figura 6.2: a) Malha 4-8 (tiling $[4.8^2]$). b) Bloco.

que o tiling $[4.8^2]$ e suas arestas podem similarmente ser classificadas como arestas internas e arestas externas. Cada triângulo possui uma aresta interna e duas arestas externas. Com isto é possível definir uma operação primitiva do refinamento que é a operação de *bisseção* de um bloco. A estrutura de dados utilizada é baseada na representação *halfedge* [48], onde as informações topológicas armazenadas são basicamente para definir halfedge, edge, face e vértice, conforme mostra a figura 6.3. Todas as informações de conectividades e vizinhanças necessárias podem ser inferidas a partir destas informações. O campo *subdiv* na halfedge terá fundamental importância no processo de bisseção.

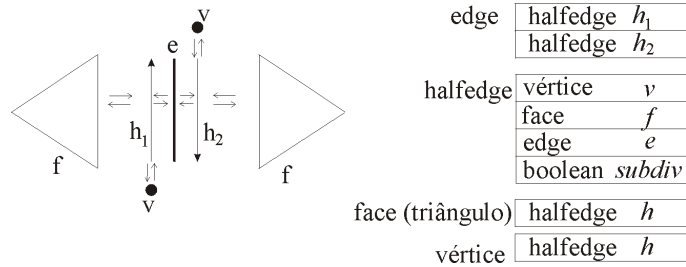


Figura 6.3: Estrutura topológica básica.

Bisseção

É uma heurística de refinamento do bloco definida a partir dos seguintes passos:

- (1) Inserir um vértice, chamado *vértice de subdivisão*, na aresta interna ao bloco.
- (2) Subdividir cada triângulo do bloco em dois sub-triângulos, ligando o vértice de subdivisão aos vértices opostos do triângulo (figura 6.4a).

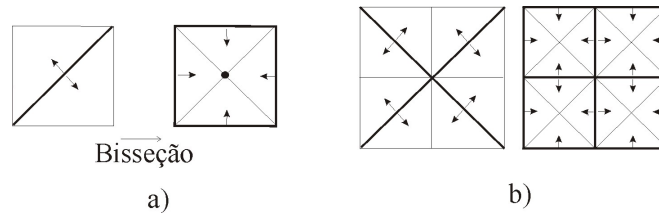


Figura 6.4: a) Bisseção de um bloco. b) Bisseção aplicada a 4 blocos.

A aresta interna ao bloco é uma de *aresta de subdivisão*, assim cada triângulo do bloco possui uma única aresta de subdivisão. Na implementação desta estrutura [48, 58] em cada triângulo é armazenada a halfedge da aresta de subdivisão daquele triângulo (fig 6.3). Na implementação, uma aresta é classificada como sendo de subdivisão se pelo menos uma de suas halfedges for de subdivisão (o campo *subdiv* da halfedge indica se ela é de subdivisão). Na figura 6.4 as arestas de subdivisão estão em negrito e as setas saindo das arestas indicam a halfedge (de subdivisão) de cada faces. A figura 6.4a mostra a bisseção aplicada ao bloco. É importante observar que, após a bisseção, as arestas de subdivisão passam a ser as que antes eram as arestas externas ao bloco. O pseudo código da bisseção de uma aresta de subdivisão e é mostrado na função **AplicarBissecão** (supor que há um operador $vert(i)$ definido na aresta e que retorna o seu vértice adjacente i). A função **AproximarSuperfície** move o novo vértice para a iso-superfície e será descrita na seção 6.2.

Algoritmo 15 AplicarBissecão (aresta de subdivisão e)

$v_1 \leftarrow e.vert(1), v_2 \leftarrow e.vert(2),$
 Criar um novo vértice v , tal que $v \leftarrow 0.5(v_1 + v_2)$
 Subdividir cada um dos triângulos que compartilham e
 Atualizar as informações sobre as arestas de subdivisão
 AproximarSuperfície (v_1, v_2, v)
 Retornar v

Operações de bisseção em uma malha regular 4-8 produzem malhas regulares 4-8 (tilings invariantes), como mostra a figura 6.4b. É importante destacar que operações de bisseção podem ser aplicadas a malhas com uma topologia arbitrária (irregulares), desde que a malha esteja particionada em blocos de dois triângulos que compartilham uma aresta, ou seja, a malha seja uma *malha quadrangular triangulada* ou simplesmente, seja uma *malha quad-tri*. Portanto, antes de refinar uma malha qualquer através de operações de bisseção, é necessário um pré-processamento para torná-la uma malha quad-tri. Em [58] é descrito um algoritmo eficiente que transforma

uma malha triangular em uma malha quad-tri que possui aproximadamente o dobro do número de triângulos em relação à malha original.

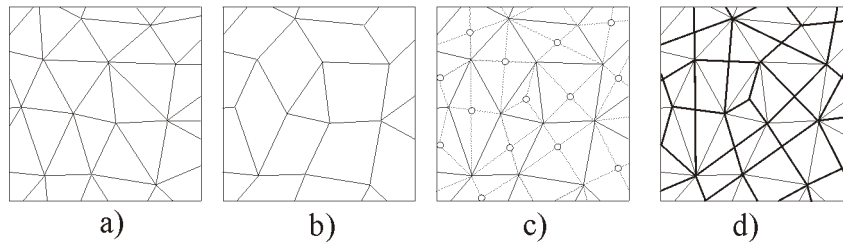


Figura 6.5: a)Malha triangular. b)Malha intermediária: blocos quadrilaterais e triangulares. c)Baricentros. d)Malha quad-tri.

A figura 6.5 mostra a idéia básica deste algoritmo: a figura 6.5a mostra a malha triangular original; as arestas são ordenadas decrescentemente por seus comprimentos em uma *priority queue* Q ; para cada aresta e , retirada de Q , marcam-se as arestas que compartilham uma face com e , definindo um bloco quadrilateral (figura 6.5b); arestas marcadas não mais poderão originar novos blocos; após gerados todos os blocos (Q está vazia) é possível que restem alguns triângulos isolados e a estrutura intermediária contém blocos quadrilaterais e blocos triangulares; a próxima etapa (figura 6.5c) insere baricentros dentro de cada bloco, de modo que cada quadrilátero é subdividido em quatro triângulos e cada triângulo é subdividido em 3 triângulos; as arestas dos blocos, antes da inserção dos baricentros, são então definidas como arestas de subdivisão e as novas arestas ligadas aos baricentros são as arestas externas que delimitam os blocos; a figura 6.5d mostra a malha quad-tri resultante, com os blocos destacados. A função **GerarQuadTri** mostra o pseudo-código da idéia acima (supor a existência do campo *marca* na aresta e).

Algoritmo 16 GerarQuadTri (malha base M)

Marcar toda aresta e da malha M , ou seja, $e.marca \leftarrow$ falso
 Ordenar as arestas da malha M e armazená-las em uma priority queue Q
Enquanto $Q \neq \emptyset$
 Retirar uma aresta e de Q
 Se $e.marca =$ falso, **Então**
 Para toda aresta e_1 que compartilha uma face com e
 $e_1.marca \leftarrow$ verdadeiro
 AplicarBissecao(e)
 FimSe
FimEnquanto
 Subdividir cada triângulo que não formou um bloco

Refinamento Adaptativo de Malhas Quad-tri

Para refinar uniformemente uma malha quad-tri basta aplicar, em cada nível de refinamento, uma operação de bisseção a todos os blocos da malha. Após um número suficientemente grande de refinamentos, a valência dos vértices é 4 ou 8, exceto nos vértices da malha original. Como estes vértices originais ficam isolados entre si, a malha refinada é uma malha semi-regular. A figura 6.6 mostra o refinamento uniforme de uma malha, após três níveis de refinamento.

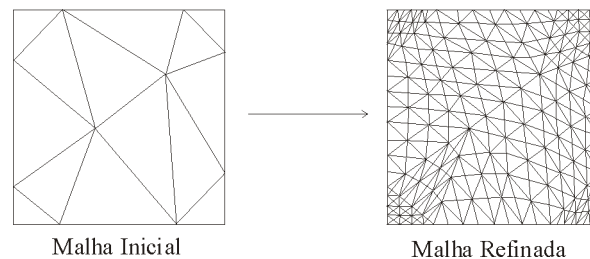


Figura 6.6: Refinamento uniforme.

No caso do refinamento adaptativo, um dos maiores desafios é manter a consistência da malha. Em muitos métodos a subdivisão de um triângulo só se mantém consistente se seus vizinhos também forem subdivididos, o que, por indução, pode acabar se tornando um refinamento uniforme. Este problema pode ser mais facilmente resolvido se o refinamento adaptativo tiver como operação primitiva a bisseção da aresta interna do bloco. Bisseção gera uma estrutura de malha hierárquica que suporta naturalmente resoluções variáveis. Supondo que, pelo critério de subdivisão, uma aresta e deva ser subdividida, há dois casos possíveis a serem analisados: a aresta e pode ser interna ou externa a um bloco. Se e é interna a um bloco b , basta aplicar a bisseção a b , ou seja, nenhum outro bloco precisa ser refinado para que a consistência da malha seja mantida. A figura 6.7a mostra a aresta de subdivisão e interna a um bloco em negrito e a figura 6.7b mostra o resultado do refinamento de e mantendo a consistência entre os triângulos da malha. Por outro lado, se a aresta a de subdivisão é externa a um bloco b , obrigatoriamente deve-se refinar a aresta interna a b e em seguida refinar a , de modo que a consistência seja mantida. Na figura 6.7a a aresta a não é de subdivisão, porém na figura 6.7b, a tornou-se uma aresta de subdivisão, devido ao refinamento anterior (a contém agora uma halfedge de subdivisão). Porém a é externa ao bloco superior em negrito. Neste caso é necessário que a aresta interna ao bloco seja subdividida (figura 6.7c) e em seguida a aresta a é refinada (figura 6.7d).

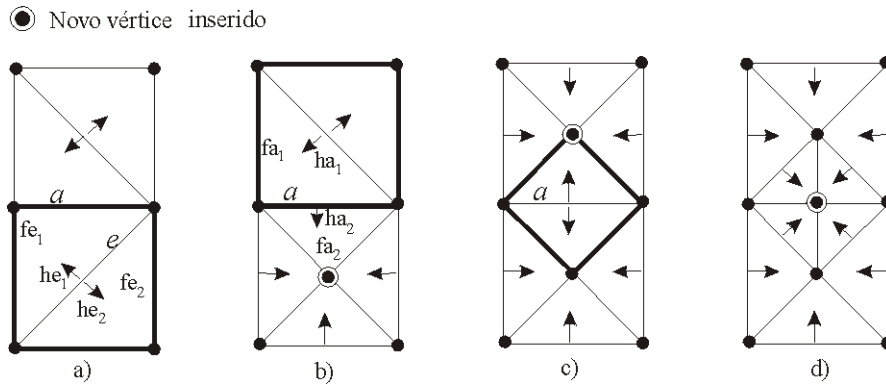


Figura 6.7: Refinamento adaptativo.

Uma forma de saber em quantos passos se realiza o refinamento de uma aresta de subdivisão é mantendo consistentemente armazenada a informação da halfedge de subdivisão de cada face. Seja e uma aresta de subdivisão que tem faces adjacentes f_{e_1} e f_{e_2} . Se as halfedges de e coincidirem com as halfedges de subdivisão das faces f_{e_1} e f_{e_2} , então o refinamento de e se dá em apenas um passo, como ocorreu na figura 6.7a, onde as halfedges de subdivisão da face f_{e_1} e da face f_{e_2} coincidem com as halfedges da aresta e . Isto significa que f_{e_1} e f_{e_2} estão no mesmo nível hierárquico de refinamento. Já no caso da figura 6.7b, apenas uma halfedge da aresta de subdivisão a coincide com a halfedge de subdivisão da face (no caso a face f_{a_2}). Isto significa que a face f_{a_1} possui outra aresta de subdivisão, além da aresta a , que deve ser refinada primeiro, pois f_{a_1} e f_{a_2} estão em níveis hierárquicos diferentes (figura 6.7c). Só em seguida é que a aresta a pode ser refinada (figura 6.7d). A função **RefinarAresta** mostra como se dá o refinamento adaptativo de uma aresta de subdivisão e adjacente às faces f_1 e f_2 (supor que há um operador $face(i)$ definido na aresta e que retorna sua face adjacente i).

Algoritmo 17 RefinarAresta (aresta de subdivisão e)

Se $e.face(1).h \neq e.h1$ e $e.face(1).h \neq e.h2$, **Então**
 $e_1 \leftarrow$ aresta equivalente a halfedge $e.face(1).h$
AplicarBissecao(e_1)
FimSe
Se $e.face(2).h \neq e.h1$ e $e.face(2).h \neq e.h2$, **Então**
 $e_1 \leftarrow$ aresta equivalente a halfedge $e.face(2).h$
AplicarBissecao(e_1)
FimSe
 $v \leftarrow$ **AplicarBissecao**(e)
 Retornar v
FimSe

6.2 Adaptação dos Triângulos

À medida que a malha vai sofrendo mudanças topológicas, através da alteração da conectividade de seus vértices, arestas e faces (seção anterior), é também necessária a adaptação da malha à geometria da superfície. O objetivo desta etapa é a otimização da malha, no sentido de torná-la o mais próximo possível da superfície, além de manter a regularidade dos seus triângulos, sua suavidade e sua boa aparência. Visando manter as propriedades da malha apresentadas na seção 3.1, o método aqui apresentado realiza a otimização da malha basicamente através de duas etapas:

- As coordenadas dos novos vértices devem ser deslocadas para a superfície.
- A vizinhança local destes novos vértices deve ser reparametrizada de modo a manter a regularidade dos triângulos.

6.2.1 Aproximação à Superfície

No método aqui apresentado a aproximação de vértices à superfície é realizada de duas formas: utilizando a transformada de distância e através do cálculo de geodésicas.

Aproximação através da Transformada de Distância

A transformada de distância \mathcal{T}_S , aplicada a um objeto S , é uma importante ferramenta utilizada no processamento de diversos objetos gráficos (apêndice A). Dado um objeto $S \subset \mathbb{R}^3$ e um ponto $p \in \mathbb{R}^3$, $\mathcal{T}_S(p)$ representa a menor distância entre p e o objeto S . Assim, se um ponto p está em S , então $\mathcal{T}_S(p) = 0$, ou seja $S = \{p, \mathcal{T}_S(p) = 0\}$. Da mesma forma, se $\mathcal{T}_S(p) > 0$, p é um ponto externo a S e se $\mathcal{T}_S(p) < 0$, p é um ponto no interior de S . No caso de volumes, S é uma iso-superfície implícita no dado volumétrico. A figura 6.8a mostra um objeto S , correspondente a uma iso-superfície do volume, enquanto a figura 6.8c mostra a transformada de distância \mathcal{T}_S calculada sobre o plano π (figura 6.8b).

Dado um vértice v com coordenadas p , o deslocamento $\mathcal{F}_S(p)$, que move v em direção à superfície, será calculado com base nos métodos [34, 57],

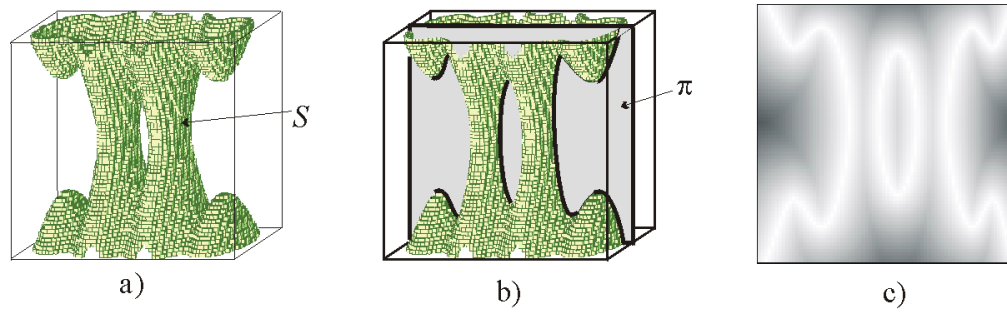


Figura 6.8: a) Iso-superfície S . b) Plano π cortando S . c) \mathcal{T}_S mostrada sobre π .

que utilizam o gradiente da função no ponto p :

$$\mathcal{F}_S(p) = -\mathcal{T}_S(p)\nabla\mathcal{T}_S(p). \quad (6-1)$$

A notação \mathcal{F}_S vem do fato de este deslocamento ser tratado em alguns trabalhos [47, 57] como uma força que puxa o vértice na direção da superfície S . Em [34, 57] em vez da transformada de distância é utilizada uma função de densidade qualquer $D(p)$ para o cálculo de $\mathcal{F}_S(p)$. A vantagem das funções de distância para o cálculo de $\mathcal{F}_S(p)$ é que elas têm a propriedade de o vetor gradiente $\nabla\mathcal{T}_S(p)$ ser unitário em qualquer ponto p (exceto no eixo medial de S , onde $\nabla\mathcal{T}_S(p) = 0$). Portanto $\mathcal{F}_S(p)$ é um vetor, cujo módulo direção e sentido indicam o deslocamento necessário para que o vértice v coincida com a superfície. A figura 6.9a mostra o eixo medial (linhas brancas) da superfície S (linhas pretas). A figura 6.9b mostra o campo gradiente em volta da superfície S e do seu eixo medial. A figura 6.9c mostra o deslocamento de um ponto interno p e de um ponto externo q em direção à superfície S .

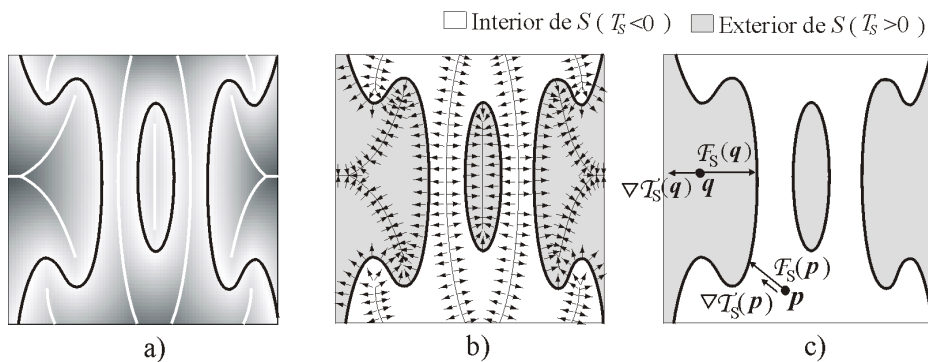


Figura 6.9: a) Eixo Medial. b) Campo gradiente. c) Cálculo do deslocamento.

A seção 6.1.2 mostrou que quando uma aresta (v_1, v_2) da malha base é refinada por biseção, é criado um novo vértice v entre v_1 e v_2 . Quando

este novo vértice é aproximado à superfície através do deslocamento $\mathcal{F}_S(p)$, a nova posição de v passa a ser $p + \mathcal{F}_S(p)$. Há situações em que $\mathcal{F}_S(p)$ pode resultar em um deslocamento errado do vértice v , fazendo com que a topologia da malha seja alterada durante o refinamento, como mostra a figura 6.10. A figura 6.10a mostra o deslocamento correto do vértice v , enquanto a figura 6.10b mostra o vértice v se deslocando para a posição errada. O erro da figura 6.10b ocorreu porque a aresta (v_1, v_2) corta o eixo medial da superfície, fazendo com que o novo vértice criado v esteja mais próximo de uma região da superfície que não está situada entre v_1 e v_2 .

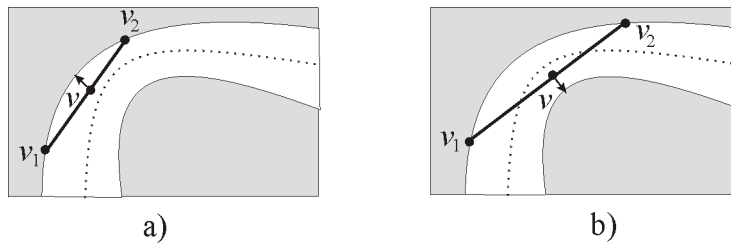


Figura 6.10: a) Deslocamento correto. b) Deslocamento errado.

Como a malha base possui uma baixa resolução, é comum encontrar arestas que interceptem o eixo medial, fazendo com que o problema apontado na figura 6.10b ocorra. A aplicação do deslocamento $\mathcal{F}_S(p)$ ao vértice v só funcionaria bem se v se encontra em uma *vizinhança tubular* da superfície, o que em geral só ocorre após alguns níveis de refinamento da malha. Neste caso, $\mathcal{F}_S(p)$ seria mais indicada para otimização da malha, ou seja, sabendo-se que v já se encontra próximo à superfície S , encontrar as novas coordenadas de v de modo que ele passe a se situar sobre a superfície. O deslocamento \mathcal{F}_S será utilizado durante a reparametrização na seção 6.2.2.

Como proceder então, já que a malha base pode ter arestas interceptando o eixo medial? Uma pergunta natural a ser feita é: dada uma aresta (v_1, v_2) , como decidir se ela intercepta ou não o eixo medial? Caso ela intercepte, como encontrar o vetor deslocamento correto que deve ser aplicado ao novo vértice v , gerado pela bissetção? A figura 6.11a mostra como este problema pode ser complicado. Dependendo da geometria da superfície em uma vizinhança de v , fica difícil fazer uma análise do vetor deslocamento. Uma heurística mais simples e segura para encontrar corretamente o vetor deslocamento pode ser elaborada a partir da geodésica entre os dois vértices v_1 e v_2 sobre a superfície.

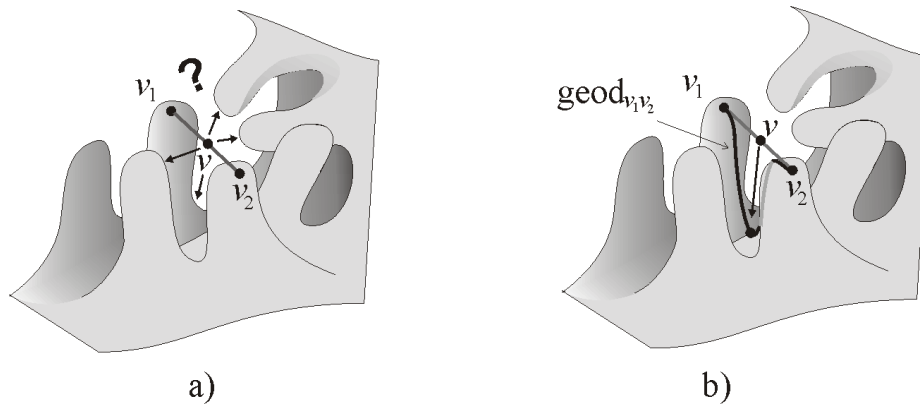


Figura 6.11: a) Deslocamento correto. b) Deslocamento errado.

Aproximação através da Geodésica

Os vértices da malha base foram definidos como os c -vértices do grafo de conectividade que formam os centros dos discos da cobertura de discos. Sabe-se que o grafo de conectividade é a representação da superfície em mais alta resolução. Assim, refinar a malha base significa buscar adequadamente novos c -vértices do grafo de conectividade e incluí-los na malha. Quando a aresta (v_1, v_2) da malha base é refinada, para que a topologia correta da malha seja mantida, o novo vértice v (ponto médio de v_1 e v_2) deve ser associado a um ponto da superfície que esteja em uma região entre v_1 e v_2 (figura 6.10a). Uma forma de calcular corretamente o deslocamento do novo vértice refinado v , é associando v ao ponto médio g_m de $geod_{(v_1, v_2)}$, geodésica entre v_1 e v_2 no grafo de conectividade \mathcal{G} (figura 6.11b). Uma vez que a geodésica é a menor curva sobre \mathcal{G} , situada entre v_1 e v_2 , o deslocamento de v para o ponto médio g_m vai sempre mover v para uma região entre v_1 e v_2 . Nos casos onde a aresta (v_1, v_2) não intercepta o eixo medial, este deslocamento é semelhante ao deslocamento \mathcal{F}_S . Devido às restrições aplicadas à geração da cobertura de discos (seção 5.2), existirá apenas uma geodésica entre os vértices v_1 e v_2 .

A implementação da geodésica $geod_{(v_1, v_2)}$ é feita de forma análoga à geração de um disco, mostrada na função **GerarDisco** (seção 5.2.1). O vértice v_1 é tomado como o centro do disco e a propagação para inclusão de novos vértices no disco deve seguir até que o vértice v_2 seja alcançado. Nesta nova versão de geração de discos cada vértice que for atingido pela propagação deve guardar o vértice de onde a propagação partiu. Assim, quando o vértice v_2 for atingido, basta fazer uma busca linear de volta até o v_1 para identificar os vértices que compõem a geodésica $geod_{(v_1, v_2)}$. A função **CalcularGeodesica** mostra o pseudo-código deste processo.

Algoritmo 18 CalcularGeodesica (vért inicial v_1 , vért final v_2)

Gerar um disco sobre o grafo \mathcal{G} , com centro em v_1 , até encontrar v_2

$v \leftarrow v_2$

Enquanto $v \neq v_1$

 Armazenar v em $geod_{v_1, v_2}$

$v \leftarrow v.$ anterior

FimEnquanto

Retornar o ponto médio de $geod_{v_1, v_2}$

O cálculo da geodésica requer alguns cuidados para os vértices da borda. Suponha que o vértice v_1 (da aresta (v_1, v_2) que será refinada) está na borda da malha base. Antes de mover o vértice médio v da aresta (v_1, v_2) com a função **CalcularGeodesica**, o deslocamento deve ser aplicado primeiramente ao vértice v_1 para que ele seja deslocado para borda da superfície. Este deslocamento de v_1 é necessário porque a primeira vez que a aresta (v_1, v_2) for refinada, v_1 é centro de uma célula de Voronoi e pode estar afastado da borda da superfície em si (grafo de conectividade), como mostra a figura 6.12a.

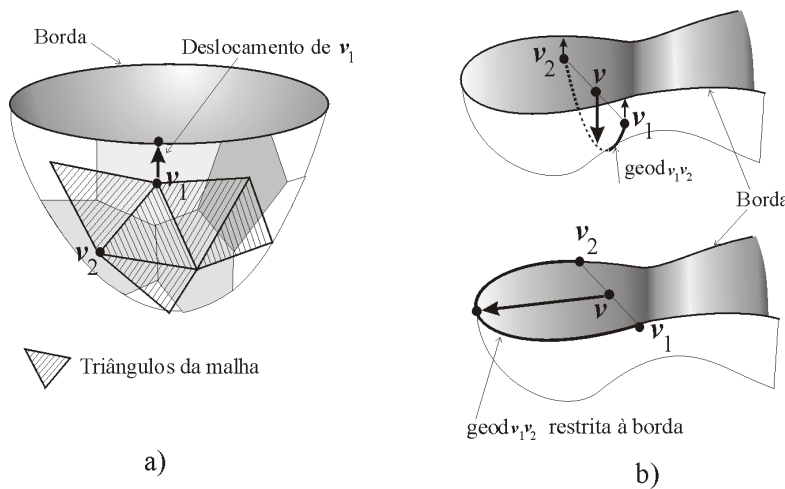


Figura 6.12: a) Deslocamento de v_1 para a borda. b) Deslocamento do vértice v para a borda.

A função **MoverParaBorda** mostra o deslocamento do vértice v_1 : deve-se gerar um disco (função **GerarDisco**) com centro em v_1 , mas a propagação deve seguir até que um c-vértice v_{fim} que esteja na borda do grafo \mathcal{G} seja encontrado. O vértice v_1 deve ser deslocado para a mesma posição de v_{fim} (para saber se um c-vértice v do grafo \mathcal{G} está na borda, basta utilizar um *flag* que deve ser iniciado durante a geração de \mathcal{G} , indicando se v foi gerado a partir de um voxel da borda do volume).

Algoritmo 19 MoverParaBorda (vértice v_1)

Gerar um disco sobre \mathcal{G} , com centro em v_1 , até encontrar um vért v_{fim} da borda de \mathcal{G}
 $v_1 \leftarrow v_{fim}$

Se além de v_1 , o vértice v_2 também estiver na borda, ambos devem ser deslocados para a borda utilizando a função **MoverParaBorda** (figura 6.12b superior). Mas, neste caso, o vértice médio v não poderá ser deslocado através da função **CalcularGeodesica**. A questão é que como tanto v_1 quanto v_2 estão na borda, seria razoável que o ponto médio v também estivesse na borda, ou seja, deslocar v para o ponto médio da geodésica $geod_{v_1,v_2}$ não parece uma boa idéia, como mostra a figura 6.12b superior. Uma outra função, chamada **CalcularGeodBorda**, calcula a geodésica restrita aos vértices da borda e move v para seu ponto médio (figura 6.12b inferior).

Algoritmo 20 CalcularGeodBorda (vert inicial v_1 , vért final v_2)

Gerar um disco sobre o grafo \mathcal{G} , com centro em v_1 , até encontrar v_2 , colocando no disco apenas c-vértices que estejam na borda do grafo
 $v \leftarrow v_2$
Enquanto $v \neq v_1$
 Armazenar v em $geod_{v_1,v_2}$
 $v \leftarrow v.anterior$
FimEnquanto
 Retornar o ponto médio de $geod_{v_1,v_2}$

Finalmente a função para aproximar um vértice à superfície pode ser implementada como mostra o pseudo código abaixo. Esta função é utilizada pela função **AplicarBissecao** para mover o vértice para o superfície durante o refinamento.

Algoritmo 21 AproximarSuperficie (v inicial v_1 , v final v_2 , v médio v)

Se v_1 é um vértice da borda, **Então**
 MoverParaBorda(v_1)
Se v_2 é um vértice da borda, **Então**
 MoverParaBorda(v_2)
Se v_1 e v_2 são vértices da borda, **Então**
 $v \leftarrow$ **CalcularGeodBorda**(v_1, v_2)
Senão
 $v \leftarrow$ **CalcularGeodesica** (v_1, v_2)

6.2.2 Reparametrização

À medida que novos vértices são gerados durante o refinamento e aproximados à superfície, os triângulos da malha tendem a se tornar menos regulares, mesmo partindo de uma malha base com triângulos regulares. Com isto, faz-se necessário reparametrizar localmente os triângulos adjacentes a um novo vértice v inserido na malha, de modo a manter a regularidade dos mesmos. Este processo é feito aplicando-se ao vértice v um deslocamento \mathcal{F}_T em uma direção tangente à superfície. Este deslocamento é definido como a componente tangencial do operador *Laplaciano* U , definido como [47, 57]:

$$U(p) = \frac{1}{n} \sum_{i=1}^n (p_i - p), \tag{6-2}$$

onde p representa as coordenadas de v e p_i são as coordenadas dos vizinhos de v . O deslocamento \mathcal{F}_T (componente tangencial) é definido como $\mathcal{F}_T(p) = \tau[U(p) - (U(p) \cdot \vec{n})\vec{n}]$, onde τ é uma constante e \vec{n} é a normal ao vértice v . A figura 6.13 mostra como \mathcal{F}_T é definido.

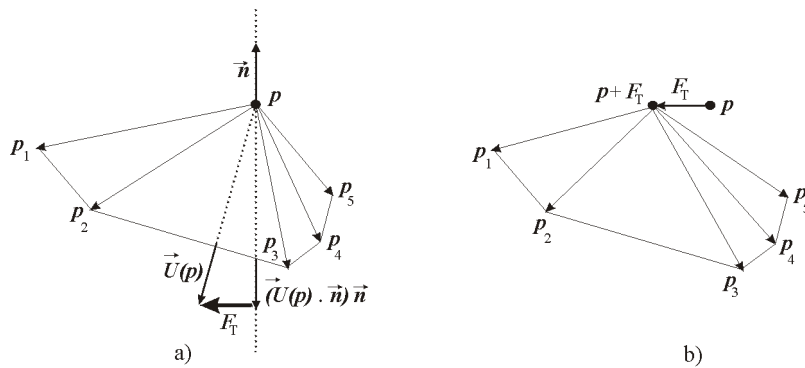


Figura 6.13: a)Coordenada original: p . b) Componente Laplaciana: $p + \mathcal{F}_T(p)$.

A aplicação do deslocamento tangencial \mathcal{F}_T ao vértice v otimiza os triângulos que compartilham v , porém pode afastar o vértice v da superfície S (figura 6.14a).

Para garantir que v estará sobre a superfície, pode-se aplicar o deslocamento \mathcal{F}_S (seção 6.2.1), uma vez que o vértice já se encontra próximo à superfície (figura 6.14b). Pode-se questionar se a aplicação do deslocamento \mathcal{F}_S ao vértice v não afeta o resultado obtido anteriormente pelo deslocamento \mathcal{F}_T , ou vice-versa. A questão é que \mathcal{F}_T e \mathcal{F}_S atuam no vértice em direções ortogonais: enquanto \mathcal{F}_T desloca v na direção tangente à superfície, \mathcal{F}_S desloca o vértice na direção normal (direção do gradiente),



Figura 6.14: a) Aplicação da componente tangencial. b) Aproximação à superfície.

que são direções independentes. Além disso estas forças atuam localmente ao vértice v , não interferindo em outras regiões, o que facilita o controle da otimização da malha. A figura 6.14a mostra o resultado da componente tangente afastando o vértice v da superfície; a figura 6.14b mostra a atuação da componente \mathcal{F}_S aproximando v à superfície.

A função **AplicarCompTanLap** mostra o pseudo código do deslocamento tangencial \mathcal{F}_T , seguido do deslocamento \mathcal{F}_S .

Algoritmo 22 AplicarCompTanLap (vértice v)

```

 $p \leftarrow v.coord$ 

 $U(p) \leftarrow \frac{1}{n} \sum_{i=1}^n (p_i - p)$ 
 $\mathcal{F}_T(p) \leftarrow \tau[U(p) - (U(p) \cdot \vec{n})\vec{n}]$ 
 $p \leftarrow p + \mathcal{F}_T(p)$ 

 $\mathcal{F}_S(p) \leftarrow -\mathcal{I}_S(p)\nabla\mathcal{I}_S(p)$ 
 $p \leftarrow p + \mathcal{F}_S(p)$ 
 $v.coord \leftarrow p$ 

```

6.3 Implementação do Refinamento

Esta seção descreve as funções **IniciarRefinamento** e **AplicarRefinamentoAdapt**, chamadas na função principal do refinamento, **RefinarMalhaBase** no início deste capítulo. Estas duas funções fazem simultaneamente a subdivisão dos triângulos (6.1), de acordo com a operação básica de bisseção, e a adaptação dos triângulos à geometria da superfície (6.2).

A função **IniciarRefinamento** converte a malha base M em uma malha quad-tri, através da chamada à função **GerarQuadTri** (seção 6.1.2).

Lembre-se que ao converter a malha em uma quad-tri, os novos vértices inseridos durante a bisseção já são deslocados para a superfície.

Algoritmo 23 IniciarRefinamento (malha M , $erro$, p. queue Q_{REF})

GerarQuadTri (M)

Para todo vértice v da quad-tri M

AplicarCompTanLap(v)

Para toda aresta $e \in M$ cujo critério de subdivisão é maior que $erro$

Inserir e na priority queue Q_{REF}

Em seguida, a função **AplicarCompTanLap** faz a reparametrização dos vértices da quad-tri. Após a reparametrização, o critério de subdivisão é verificado em todas as arestas da quad-tri: as arestas que satisfazem ao critério de subdivisão, ou seja, o valor avaliado em cada aresta é maior que um determinado $erro$, serão inseridas na priority queue Q_{REF} , ordenada decrescentemente de acordo com este valor.

A função **AplicarRefinamentoAdapt** percorre as arestas de Q_{REF} , e aplica o refinamento adaptativo às arestas de subdivisão, através da função **RefinarAresta** (seção 6.1.2).

Algoritmo 24 AplicarRefinamentoAdapt (quadtri M , $erro$, pqueue Q_{REF})

Enquanto $Q_{REF} \neq \emptyset$

Retirar uma aresta e da priority queue Q_{REF}

Se e for uma aresta de subdivisão

$v \leftarrow$ **RefinarAresta**(e)

AplicarCompTanLap(v)

Inserir em Q_{REF} as novas arestas que satisfazem ao critério de subdivisão

FimSe

FimEnquanto

Para todo vértice v da quad-tri M

AplicarCompTanLap(v)

Lembre-se que a função **RefinarAresta** usa o processo de bissecção que já aproxima o vértice refinado à superfície. A etapa seguinte é aplicar a componente tangencial laplaciana aos novos vértices refinados. Em seguida deve-se verificar quais das novas arestas, surgidas durante a chamada de **RefinarAresta**, satisfazem ao critério de subdivisão e inserí-las em Q_{REF} . Terminado o refinamento ($Q_{REF} = \emptyset$), é aplicada uma reparametrização em todos os vértices da malha para garantir um boa razão de aspecto aos triângulos.